

通信电源设备 维 护 经 验

人 民 邮 电 出 版 社

1



TONGXIN DIANYUAN SHEBEI WEIHU JINGYAN

通信电源设备维护经验

第一辑

人民邮电出版社

内 容 提 要

本书是通信电源设备维护经验的选辑，主要选自1974年及1975年刊登在有关杂志上的文章。内容包括蓄电池、油机发电机、整流器等方面的技术革新和维护经验，可供从事通信电源维护工作的工人及技术人员参考。

通信电源设备维护经验

第一辑

人民邮电出版社编辑、出版

北京东长安街27号

河北省邮电印刷厂印刷

新华书店北京发行所发行

各地新华书店经售

开本：787×1092 1/32 1976年12月 第一版

印张：3 4/32 页数：50 1976年12月河北第一次印刷

字数：70

统一书号：15045·总2130-有548

定价：0.27 元

毛主席语录

阶级斗争是纲，其余都是目。

政治工作是一切经济工作的生命线。在社会经济制度发生根本变革的时期，尤其是这样。

我们的方针要放在什么基点上？放在自己力量的基点上，叫做自力更生。

抓革命，促生产，促工作，促战备。

出 版 说 明

伟大的无产阶级文化大革命推动了通信事业的大发展，通信设备成倍增长。广大通信人员遵照伟大领袖毛主席“抓革命，促生产，促工作，促战备”的教导，认真学习无产阶级专政理论，以阶级斗争为纲，以高度的革命热情，加强设备维护，大搞技术革新，提高通信质量，积累了许多好经验。

为了使这些从实践中取得的经验得到交流，我们将陆续出版各类通信设备的维护经验选辑。

本书是通信电源设备维护经验的选辑，内容选自1974年及1975年出版的有关杂志，供同志们参考。

目 录

第一部分 技术革新	(1)
可控硅自动加撤尾电池的方法.....	(1)
可控硅加撤尾电池电路的补充说明.....	(13)
自动加撤尾电池方法.....	(20)
铅蓄电池极板的再生和改型.....	(23)
用液体石蜡封盖蓄电池液面.....	(26)
“东方红4125”柴油机启动装置的改进.....	(27)
柴油机电预热器.....	(30)
油机的防冻保暖措施.....	(32)
DZ62系列硅整流器断相自动停机	(34)
可控硅整流器调整性能的改进.....	(35)
冷却风扇自动开关装置.....	(37)
可控硅±12伏、±24伏直流变换器.....	(38)
调压器自动控制盘.....	(43)
用离子交换树脂制备纯水.....	(48)
简易水质纯度测定仪.....	(54)
第二部分 维护经验	(57)
我们是怎样维护蓄电池的.....	(57)
铅蓄电池极板的硫酸化.....	(62)
铅蓄电池障碍实例分析.....	(67)
这几只电池比重为什么低.....	(72)
DZ603系列可控硅整流器障碍分析.....	(73)
变压器为什么发热.....	(86)
可控硅整流器输出电压对称性的鉴别.....	(87)

第一部分 技术革新

可控硅自动加撤尾电池的方法

在我们电信企业的电源设备中，凡有尾电池装置的局站，在加撤尾电池时，常常采用人工扳动刀闸的操作方法，或者用大功率电磁机械式接触器的操作方法，人工或半自动地完成加撤尾电池。上述两种方式都有其不足之处，用人工扳动加撤尾电池刀闸，往往使加撤尾电池不及时，刀闸接触口极易烧蚀磨损，平时则要经常清洁检查，以防氧化不洁，接触不良；用大功率电磁机械式接触器来作加撤尾电池，除接触器同样有刀闸式的弊病外，且其杠杆机械结构复杂，平时清洁注油不当，就会发生卡住故障，且加尾时响声过大，撤尾时仍需人工撤尾，重新挂闸，维护十分不便。

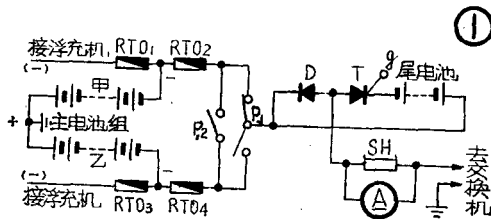
采用硅可控整流元件作为加撤尾电池的静止开关，有许多优越性，它的主要优点是无接点，所以开断时不产生火花，动作快、寿命长、可靠性高、维护简单。硅可控整流元件是一种新型的半导体器件，习惯上称为“可控硅”。由于可控硅具有用弱电流对大功率电气设备进行控制的可控特性，所以这种元件一出现，便为人们所重视，虽然只有十多年的历史，但它的应用范围已十分广泛，成为弱电系统控制强电系统不可缺少的重要元件。在工业自动化方面，愈来愈显示出其重要的地位。目前，可控硅按其工作方式大体上用于可控硅整流，无触点开关，逆变和变频等方面。我们用可控硅来加撤尾电池，正是其

无触点开关应用方面的一个实例，由于它的可控特性，完全可以做到加撤尾电池的自动化，从而使通信供电质量进一步得到提高。

为了交流这方面的经验，我们把近几年来，在几个中小型话局用可控硅实现自动加撤尾电池的体会介绍如下，对于所采用的主电路及控制电路，分别作扼要的说明。

在主电池组的负极上装有尾电池的主电路

设某话局具有主电池两组，公用尾电池一组，以可控硅元件作为加撤尾电池时，即如图 1 所示。在正常情况下，浮充机经直流配电网转换开关，可分别通过熔断器(RTO_1 或 RTO_3)对主电池组甲或乙浮充。图1中 RTO_2 和 RTO_4 为两组蓄电池的放电熔断器， P_1 是人字形先接后离式的放电刀闸， P_2 是两组主电池的并联放电刀闸，若由于市电停电或浮充机发生障碍停机时，主电池组将经由放电熔断器 RTO_2 或 RTO_4 ，放电刀闸 P_1 (或 P_2)并通过大功率二极管 D 送到负载。此时，可控硅元件 T 一直处于关断状态，尾电池并不能加入，但是经过一定的时间后，主电池组的电压终将低落，直至降低到规定的下限时，则由另设的一套控制回路发出电压过低的声光报警，同时送一单独的正脉冲给可控硅的控制极 g 。于是，可控硅 T 突然导通，此时二极管 D 受尾电池的反向电压而截止，从而使尾电池串入



主电池的放电回路，经可控硅 T 送到交换机负载，完成了加尾过程。实践证明：加尾的过程电流是连续的，丝毫没有间断的任何迹象，这与电路分析是一致的。撤尾过程是这样的：如市电来电或浮充机修复后继续浮充时，由于供电电压不断上升，直到规定的上限时，仍由另设的控制电路发出电压过高的声光报警。同时对可控硅 T 施加一个瞬间的反向电压，此时正在导通的可控硅 T 就会迅速关断。与此同时，二极管 D 也迅速地由原来的截止状态立即恢复导通，电路回到初始状态。撤尾过程经实践证明，电流也是连续的，丝毫没有电流间断的任何迹象。这是由于可控硅 T 的关断及二极管 D 的导通是同时地进行的。

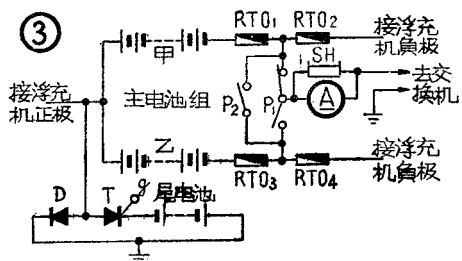
图 2 所示，是两组主电池分别在负极上各装有尾电池的主电路，其加撤尾电池的原理同上所述。但是在两组主电池组或尾电池组并联运行时，其中元件 D_1 、 D_2 、 T_1 和 T_2 的性能应

挑选相近似的，否则电流分配会不均匀。这是由于二极管 D_1 、 D_2 或可控硅 T_1 、 T_2 内阻不同引起的。补偿的方法是在其阳极电路中串入平衡电阻。但是这会引起较大的能量耗损，在放电电流较大的话局并不适宜，在小型话局还是可行的。

在主电池的正极上装有尾电池的主电路

如图 3 所示，两组主电池组，公用一组尾电池，并在主电池的正极上加入或撤出，其电路原理同前述。需要指出的是：

浮充机的正极不能象通常那样直接接到直流配电屏的地气汇流排上，而应改接到图3中所示的位置。否则，浮充机在运行时，若其输出电压高于主电池的电压时，

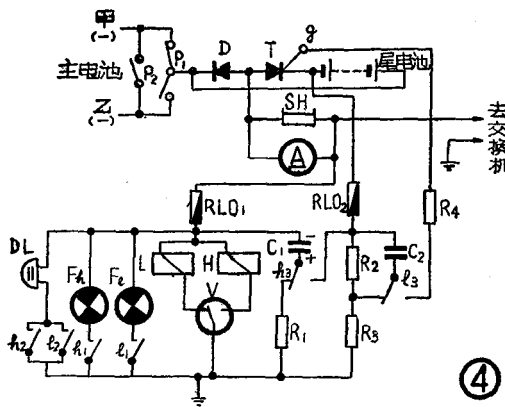


二极管D将截止，从而不能浮充，只能形成浮充机对负载直供了。这样对蓄电池组是不利的。由于蓄电池组没有真正与浮充机并接，浮充机的滤波效果也不好，杂音电平就会超出规定，对此应特别注意。若两组主电池分别设有两组尾电池的话，其线路如图2形式，只需改成图3那样分别连接即可。在两组电池并联运行时，同样存在着二极管及可控硅内阻不同而造成的电流分配不均匀性，所以选用二极管与可控硅时应精心挑选。

控制电路

(1)三针电压表控制法 如原设备中有三针电压表的话，则控制电路将变得非常简单，如图4所示。

当三针电压表在电压偏低时，中针即与下限针接触，使L继电器动作， l_1 、 l_2 接点闭合，发出瞬间的声光报警，同时 l_3 接点转换，使已充好电的开门电容 C_2 对可控硅T的控制极g和阴极放电。控制极此时承受一个大约4~6V的正脉冲电压，使T导通，完成了加尾过程。当三针电压表在电压过高时，中针即与上限针接触，使H继电器动作，同理 h_1 、 h_2 接点闭合瞬间发出声光报警，同时 h_3 接点转换，使已充好电的关门电容 C_1 对正在导通状态的可控硅T施加反向电压，此时T就立即关断。



(4)

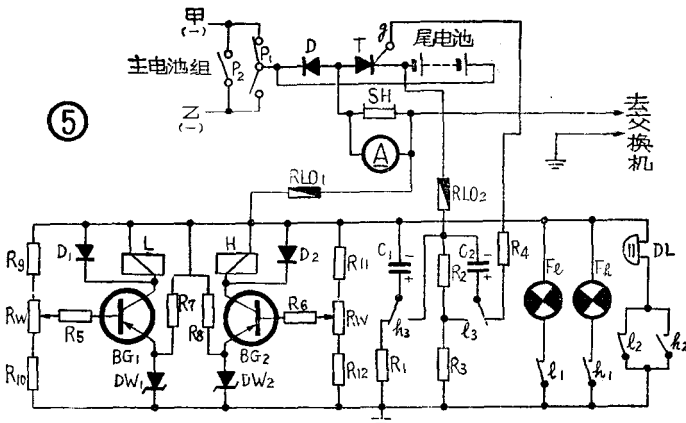
完成了撤尾过程。图中 R_1 为 C_1 的充电电阻， R_2 、 R_3 组成分压，使 R_2 上有一个约为4~6V电压值对 C_2 充电， R_4 为 T 的控制极触发限流电阻。 F_1 、 F_2 分别为过低及过高信号灯， DL 为警铃。 RLO_1 与 RLO_2 为熔断器， SH 为分流器。

实践证明，上述控制电路在完成加撤尾电池的过程中，是稳定可靠的。维护人员只需定期清洁 L 、 H 继电器的几个接点就可以了。

若用图4的控制方式完成图2并联运行时的主电路加撤尾时，由于有两组尾电池，并且需同时加入，则只要将 L 、 H 继电器的转换接点及电阻、电容相应地设置两套即可。

(2)晶体管控制电路 原设备中没有三针电压表的局站，则控制电路可以用晶体管来代替，具体电路如图5所示：

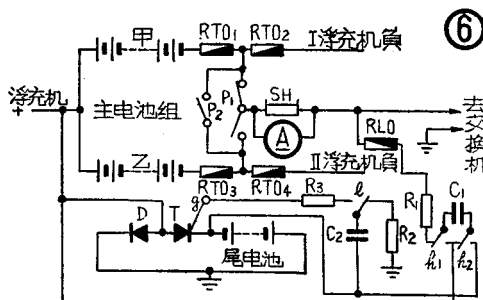
图中 R_9 、 R_W 、 R_{10} 或 R_{11} 、 R_W 、 R_{12} 组成分压器，其分压比一般常取 $\frac{1}{2}$ 左右，适当调整 R_W 值，即可使 L 、 H 继电器在规定电压上下限动作或释放。如图5的左部，在电源电压正常时，由 R_W 取出电源电压的一部分为取样信号，并与 BG_1 发射



极中串接的稳压管 DW_1 的标准量源比较。使取样信号略大于标准量源, BG_1 基极电位为负, 故 BG_1 导通。 L 继电器吸合, 其相应的接点 l_1 、 l_2 断开, l_3 接点处在电容分压电阻 R_2 、 R_3 的一侧, C_2 充电, 极性如图。若此时电源电压因故偏低, 则取样信号也随之偏低, 直至与标准量源比较后, BG_1 的基极电位由负到零, 直至正电位时, BG_1 相应地由导通过渡到截止状态。 L 继电器释放, l_1 、 l_2 接点闭合, 发出瞬间电压过低的声光报警, 同时 l_3 转换, 使 T 导通, 完成加尾过程。撤尾控制则由 BG_2 带动 H 继电器来完成, 电路原理同上相仿。区别在于先令取样信号略小于标准量源电压。电源电压正常时, 上述条件使 BG_2 截止; 若因故电源电压升高至上限时, 取样电压也升高, BG_2 基极电位呈负, 则 BG_2 导通 H 继电器动作。如图 4 所述一样, C_1 对 T 施加反向电压, T 当即关断, 从而完成撤尾过程。图中 R_7 、 R_8 是给稳压管 DW_1 、 DW_2 提供电流通路, 也是稳压管的限流电阻。在电源电压为 24 伏时, DW_1 或 DW_2 两端的稳定电压应为 11 伏左右, 电源电压为 60 伏时, DW_1 、 DW_2 两端

的电压应为27.5~28.5伏左右， R_5 及 R_6 为 BG_1 、 BG_2 的基极限流电阻。 D_1 、 D_2 为保护二极管，以防继电器断开时，所产生的自感电势损坏 BG_1 或 BG_2 ， D_1 、 D_2 则能旁路自感电势，达到保护目的。由于电源电压不同，如24伏共电局、载波电源、60伏自动话局等，则其分压器的电阻值应作适当的选择。电路中相关元件数值详见“可控硅自动加撤尾电池电路元件规格表”，以供读者改革时参考。关于元件、阻值计算方法本文从略，读者可自行查阅相关资料。

若在主电池组的正极上装有尾电池，其加撤尾的控制方法原理同前，具体电路如图6所示。



图中的接点l或 h_1 、 h_2 仍然可由三针电压表或晶体管控制电路中相应的L或H继电器带动。若有两组尾电池时，则如前所述，其接点及相应的电阻电容均需设置两套，不能省略公用。

元 件 规 格

附表中主元件以最大放电电流100安计算，若大于100安时，主元件D、T应重新选择。由于可控硅的过载能力差，因而实际选用时，常取电路中电压、电流值的一倍以上。

主元件的冷却

用大功率硅二极管及可控硅元件组成的无触点式加撤尾电池电路，其主元件均应加装配套的散热器。若元件中通过的电流达50安以上时，一般来说，应予风冷，也可以加大散热器的体积，使元件结温不超过 100°C 。也可以自制油冷式（变压器油）自然对流型的散热器，以增加其散热效果，省去风冷用的风扇。如加装风冷，若二极管为“反烧”^①，以图1为例，可将二极管与可接触的散热器组合在一起。若二极管为“正烧”^②，可将两个元件组装在一块胶板上，使散热器尽量的靠近一些，这样可以用一只微型的交直流两用小马达带动扇叶，距元件20厘米处通风，风向应对准散热器的出口。在平时，二极管D导通时，可由市电使小风扇通风。在加尾时，市电停供，可使小风扇转换到直流电源，仍可对导通的可控硅予以通风。若无交直流两用风扇，而用普通市售小型台扇作为风冷源，则当市电停电时，电路加尾，可控硅的冷却就会发生困难，因此必须另备小功率直流——交流变换器，以保证停电时交流风扇的运转。

× × ×

以上是我们在几个中小型话局，采用可控硅自动加撤尾电池的一些体会。在实际电路中，往往为了供电安全可靠起见，将主电路设计成自动及人工两套系统。设置人工系统的目的，一则是在自动系统的备用部分，二则是为了在主电路中，方

注①② “正烧”、“反烧”是硅元件制造工艺的术语。是指PN型半导体在元件上的烧结位置。

“正烧”就是元件的N型半导体部分被固定在螺栓的一端上，P型半导体部分被固定在线圈的一端。“反烧”和“正烧”相反。

在安装接线时必须注意，不能接错。

便地检查或更换一旦损坏的元件。实践证明：这种静止式的加撤尾电池电路工作是可靠的，维护简单方便，使用元件较少，其优点如前所述。然而，事物都是一分为二的，电路也存在着一些缺点有待改进。主要是电路无论在加尾或不加尾，总是有一只主元件导通。因而在放电回路中，必将造成一个元件上约0.7伏左右的压降损耗，使浮充机的电压必须稍提高一些。其次是主元件的冷却，当放电电流大于50安时，冷却问题变得非常麻烦。在无交直流两用小电扇时，用普通220V 50赫的小型台扇作风冷源，就必须附设一套小型直流-交流变换器，以供市电停电时风扇的电源。这样便使辅助电路复杂化。因此，这种电路，在中小型话局是比较适宜的，在大型话局中元件冷却必须当作首要问题来考虑，不能忽视。此外，又如控制电路还使用有接点的继电器，今后如进一步全部改为电子电路，就会更完善一些。

刘懋进

附表

可控硅自动加微尾电池电路元件规格表

图序	代号	名称	主电池组 22V 尾电池 4V	规格		备注
				规 格	规 格	
图①	D	大功率硅二极管	2 CZ200A50V	2 CZ200A100V	2 CZ及3CT选择，本图按最大放电电流为100A计算。	
	T	可控硅元件	8 CT200A100V	3 CT200A200V	2.尾电池的容量应为主电池的容量的2倍。	
	SH	仪用分流器	75mV~200A	75mV~200A	3.2CZ及3CT超过50安时应风冷。	
	A	直流电流表	0~200A	0~200A		
	P ₁	人字先合后离刀闸	200A	200A		
	P ₂	单刀单掷刀闸	200A	200A		
	RTO ₁ —RTO ₄	熔断器	200A	200A		
	甲、乙	主电池组	2K或4K	2K或4K		
		尾电池	2K或4K	2K或4K		
图②	D ₁ 、D ₂ 、T ₁ 、T ₂ 、SH、A、P ₁ 、P ₂ 、RTO ₁ —RTO ₄ 及主尾电池的规格同上	尾电池和主电池容量相等。				
图③	图中各元件规格同图①	本图未经实际使用。				

图序	代号	名称	主电池组 22V		主电池组556V或58V 尾电池4V、6V或8V		备注
			规 格	规 格	规 格	规 格	
	RLO_1, RLO_2	熔断器 继电器	$RLO\ 1-15\ 6A$ $Y0-4\ 1\ 3000\Omega-24000\Omega$ 阻-0.09	$RLO\ 1-15\ 6A$ $YO-4\ 1\ 3000\Omega-24000\Omega$ 阻-0.09	计算： $C_1 \geq \frac{t_0 I}{E} (\mu F)$	关断电容 C_1 的值由下式	
C_1		金属膜电容	$CZJD\ 160V$	$CZJD\ 200V$	式中 t_0 为 $3CT$ 元件的关断时间，普通 $3CT$ 元件的关断时间与电感有关，约数秒。工断前电压 E 为电源电压。 C_1 值一般可在 $25 \sim 100 \mu$ 中选取。		
C_2		金属膜电容	$CZJD\ 2 \sim 4\ \mu 160V$	$CZJD\ 2 \sim 4\ \mu 160V$			
R_1		金属膜电阻	$5.1K\ 2W$	$10K\ 2W$			
R_2		金属膜电阻	$1K\ 2W$	$1K\ 2W$			
R_3		金属膜电阻	$3K\ 2W$	$10K\ 2W$			
R_4		金属膜电阻	$50 \sim 100\Omega\ 1W$	$50 \sim 100\Omega\ 1W$			
DL		直流电铃	$24V$	$60V$			
$Fh\ Fl$		信号灯	$2G(24V)$	$2T\ B(55 \sim 60V)$			
V		三针电压表	$0 \sim 30$ 或 $0 \sim 50V$ (V 型)	$1K \sim 50 \sim 75V$ ($1K - V$ 型)			

主电路各元件同图①